

УДК 539.216.2 : 621.318.1

**ВЛИЯНИЕ ИОННОЙ ИМПЛАНТАЦИИ  
НА СПИН-ВОЛНОВЫЕ ВОЗБУЖДЕНИЯ  
В ПЛЕНКАХ ИЖГ**

Л. В. Луцев, Ю. М. Яковлев

Исследовано влияние имплантации пленок  $Y_3Fe_5O_{12}$  ионами  $He^+$  на групповую скорость обратных объемных магнитостатических волн, спин-волновой резонанс (СВР), эффективную намагниченность и гиromагнитное отношение имплантированного слоя. В первом порядке квазиклассического приближения найдены дисперсионные зависимости магнитостатических волн (МСВ) для пленок с произвольным профилем намагниченности и гиromагнитного отношения. Выявлена связь между профилем эффективной намагниченности и положениями пиков СВР. Решена обратная задача: по положениям пиков СВР определен участок профиля эффективной намагниченности пленки.

Ионная имплантация является эффективным средством изменения по толщине ферромагнитной пленки магнитных величин, таких как одноосная анизотропия и намагниченность [1-5]. В связи с этим представляет интерес выяснение вопроса, как влияет изменение профиля магнитных величин, полученное из-за действия ионной имплантации, на свойства магнитостатических волн (МСВ) и спин-волновой резонанс (СВР). В настоящей работе получены дисперсионные зависимости МСВ пленок с произвольным профилем намагниченности и гиromагнитного отношения, а также изучается влияние имплантации пленок  $Y_3Fe_5O_{12}$  (ИЖГ) ионами  $He^+$  на групповую скорость обратных объемных магнитостатических волн (ООМСВ), на СВР, эффективную намагниченность и гиromагнитное отношение имплантированного слоя.

### 1. Теория

Рассмотрим ферромагнитную пленку толщиной  $2d$ . Пусть ось  $Oz$  перпендикулярна, а оси  $Ox$ ,  $Oy$  параллельны поверхности пленки. Уравнение Ландау–Лифшица имеет вид [6]

$$\frac{\partial \mathbf{M}}{\partial t} = \gamma [\mathbf{M} \times (\mathbf{H} - 4\pi M_s \mathbf{n} + \alpha \Delta \mathbf{M} - \text{grad } \varphi(t))], \quad (1)$$

где  $\mathbf{M} = \mathbf{M}_0 + \mathbf{m}(t)$  — намагниченность пленки, определенная на  $z \in [-d, d]$ ,  $\alpha$  — постоянная обменного взаимодействия,  $\mathbf{H}$  — внешнее постоянное магнитное поле,  $\mathbf{n}$  — единичный вектор, параллельный  $Oz$ ,  $\varphi(t) = \varphi_0(t) + \varphi_{\text{внеш}}(t)$  — сумма магнитостатических потенциалов магнитного поля, связанного с магнитным моментом  $\mathbf{M}$ , и внешнего переменного магнитного поля.

Уравнение магнитостатики для переменных по времени  $\varphi(t)$  и  $\mathbf{m}(t)$  запишется в виде

$$-\Delta \varphi(t) + 4\pi \text{div } \mathbf{m}(t) = 0. \quad (2)$$

Наша цель — вывести из (1), (2) дисперсионные зависимости МСВ распространяющихся в касательно и перпендикулярно намагниченных пленках, при условии, что  $M$  и  $\gamma$  являются функциями от  $z$ .

Оставим в (1) линейные по  $\mathbf{m}(t)$  члены и, не ограничивая общности, положим  $H_y = 0$ . Сделаем в (1), (2) преобразование Фурье  $\mathbf{m}(t)$ ,  $\varphi(t)$  по  $x$ ,  $y$ ,  $t$  (так как ниже будут рассматриваться только Фурье-образы  $\mathbf{m}(\omega, k_x, k_y, z)$ ,  $\varphi(\omega, k_x, k_y, z)$ , то будем обозначать их теми же символами). (1), (2) приобретут вид

$$\left. \begin{aligned} i\omega m_x &= -\gamma M_x \left[ A(z) m_y + ik_y \varphi - \alpha \frac{\partial^2 m_y}{\partial z^2} \right], \\ i\omega m_y &= \gamma M_x \left[ A(z) m_x + ik_x \varphi - \alpha \frac{\partial^2 m_x}{\partial z^2} \right] - \gamma M_x \left[ A(z) m_z + \frac{\partial}{\partial z} \varphi - \alpha \frac{\partial^2 m_z}{\partial z^2} \right], \\ i\omega m_z &= \gamma M_x \left[ A(z) m_y + ik_y \varphi - \alpha \frac{\partial^2 m_y}{\partial z^2} \right], \\ -\frac{\partial^2}{\partial z^2} \varphi + k_0^2 \varphi + 4\pi \Xi(z) \left( ik_x m_x + ik_y m_y + \frac{\partial}{\partial z} m_z \right) &= 0, \\ A(z) &= \alpha k_0^2 + \alpha \frac{\partial^2 M_0}{\partial z^2} \frac{M_0}{M_0^2} - \frac{4\pi M_z^2}{M_0^2} + \frac{HM_0}{M_0^2}, \\ \Xi(z) &= \begin{cases} 1, & z \in [-d, d], \\ 0, & z \notin [-d, d], \end{cases} \end{aligned} \right\} \quad (3)$$

$k_0 = \sqrt{k_x^2 + k_y^2}$  — модуль волнового вектора МСВ.

Для касательно и перпендикулярно намагниченных пленок переменные в (3) разделяются соответственно подстановками

$$\begin{aligned} m_{\pm} &= m_y \pm im_z \quad (m_x = 0), \\ m_{\pm} &= m_x \pm im_y \quad (m_z = 0). \end{aligned}$$

Решения однородных уравнений системы (3) ищутся в виде квазиклассического разложения по  $\alpha$

$$m_{\pm} = \exp \left\{ \frac{1}{\alpha} \sum_{n=0}^{\infty} \alpha^n c_n(z) \right\}. \quad (5)$$

Собственные функции в первом приближении ( $i = 1, 2$ )

$$\left. \begin{aligned} v_{\pm}^{(i)}(z) &= \frac{C_{\pm}^{(i)}}{(\alpha U_{\pm})^{1/4}} \exp \left[ \frac{(-1)^i}{\sqrt{\alpha}} \int_b^z d\xi \sqrt{U_{\pm}} \right] \quad (z > b), \\ v_{\pm}^{(i)}(z) &= \frac{2C_{\pm}^{(i)}}{(\alpha |U_{\pm}|)^{1/4}} \sin \left[ \frac{(-1)^{i+1}}{\sqrt{\alpha}} \int_b^z d\xi \sqrt{|U_{\pm}|} + \frac{\pi}{4} \right] \quad (z < b), \end{aligned} \right\} \quad (6)$$

где  $U_{\pm}(z) = A(z) \mp \frac{\omega}{\gamma M}$ ,  $b$  — точка поворота:  $U_{\pm}(b) = 0$ . Для определённости предположено, что  $U'_{\pm}(z) > 0$ . Штрих обозначает дифференцирование по  $z$ .

В окрестности  $b$  квазиклассическое приближение неприменимо.  $v_{\pm}^{(i)}(z)$  выражаются через функцию Эйри  $A_i((|U_{\pm}|/\alpha)^{1/3}(z-b))$ . Следует также заметить, что точки поворота  $b$  может не существовать на  $[-d, d]$ .

Вынужденное решение системы (3) имеет вид

$$m_{\pm}^{\text{вын}}(z) = \int_{-d}^z d\xi K_{\pm}(z, \xi) f_{\pm}(\xi), \quad (7)$$

$$K_{\pm}(z, \xi) = \begin{cases} v_{\pm}^{(2)}(z) v_{\pm}^{(1)}(\xi) W_{\pm}^{-1}(\xi) & (\xi \geq z), \\ v_{\pm}^{(2)}(\xi) v_{\pm}^{(1)}(z) W_{\pm}^{-1}(\xi) & (\xi \leq z), \end{cases}$$

вронсиан

$$W_{\pm}(\xi) = \begin{cases} -2/\alpha & (\xi > b), \\ -4/\alpha & (\xi < b), \end{cases}$$

$f_{\pm} = (ik_x \mp k_y) \varphi$  — для перпендикулярно намагниченной плёнки,  $f_{\pm} = i(k_y \pm \frac{\partial}{\partial z}) \varphi$  — для касательно намагниченной плёнки. Раскладывая (7) в ряд по  $\alpha$ , оставим линейные члены

$$m_{\pm}^{(\text{выб})}(z) = \frac{-f_{\pm}}{U_{\pm}} - \frac{\alpha}{U_{\pm}^2} \left( f''_{\pm} - \frac{7U'_{\pm}f'_{\pm}}{2U_{\pm}} - \frac{U''_{\pm}f_{\pm}}{4U_{\pm}} + \frac{65U'^2_{\pm}f_{\pm}}{16U_{\pm}^2} \right). \quad (8)$$

После подстановки (8) в (4) получаем, что собственные функции уравнения (4) существуют только в том случае, если выполнены условия, аналогичные условиям Бора—Зоммерфельда [7]

$$\left. \begin{aligned} & \int_{a_1}^{a_2} \sqrt{|G(z)|} dz = \pi(n + 1/2), \quad n = 0, 1, 2, \dots \\ & G(z) = \frac{E}{D} - \frac{B^2}{4D^2} - \frac{1}{2} \left( \frac{B}{D} \right)' - \frac{1}{4[(z - \operatorname{Re} c)^2 + (\operatorname{Im} c)^2]}, \\ & E(z) = -2\pi k_0^2 \left( \frac{1}{U_+} + \frac{1}{U_-} \right) - k_0^2 + \frac{\pi \alpha k_0^2}{2} \left( \frac{U''_+}{U_+^3} + \frac{U''_-}{U_-^3} - \frac{65U'^2_+}{4U_+^4} - \frac{65U'^2_-}{4U_-^4} \right), \\ & B(z) = 7\pi \alpha k_0^2 \left( \frac{U'_+}{U_+^3} + \frac{U'_-}{U_-^3} \right), \\ & D(z) = 1 - 2\pi \alpha k_0^2 \left( \frac{1}{U_+^2} + \frac{1}{U_-^2} \right) \end{aligned} \right\} \quad (9)$$

— для перпендикулярно намагниченной пленки;

$$\begin{aligned} & E(z) = -2\pi k_y^2 \left( \frac{1}{U_+} + \frac{1}{U_-} \right) - k_0^2 + 2\pi k_y \left( -\frac{U'_+}{U_+^2} + \frac{U'_-}{U_-^2} \right), \\ & B(z) = -2\pi \left( \frac{U'_+}{U_+^2} + \frac{U'_-}{U_-^2} \right), \\ & D(z) = 1 + 2\pi \left( \frac{1}{U_+} + \frac{1}{U_-} \right) + 2\pi \alpha k_x^2 \left( \frac{1}{U_+^2} + \frac{1}{U_-^2} \right) \left[ 1 + 2\pi \left( \frac{1}{U_+} + \frac{1}{U_-} \right) \right]^{-1} \end{aligned}$$

— для касательно намагниченной пленки (при этом учтено, что в (8) в членах, содержащих множитель  $\alpha$ , используя (4) при  $\alpha=0$ , можно понизить порядок дифференцирования  $\varphi(z)$ , и при  $2dM'/M \ll 1$  можно пренебречь  $U'_{\pm}$ ,  $U''_{\pm}$  по сравнению с  $U_{\pm}$ );  $c$  — корень уравнения  $D(z)=0$ , (10),  $a_1$ ,  $a_2$  — точки поворота ( $G(a_1)=G(a_2)=0$ ) или граница пленки.

Если корня  $c$  не существует, то уравнение (4) не имеет особенности и член  $\{4[(z - \operatorname{Re} c)^2 + (\operatorname{Im} c)^2]\}^{-1}$  в  $G(z)$  следует опустить. (9) определяет дисперсионные зависимости МСВ и частоты СВР (при  $k_x, k_y \rightarrow 0$ ).

Если в пленке существует одноосная анизотропия типа  $H_A = \beta(z) \times \times (M(z) \mathbf{n}) \mathbf{n}$ , то обобщение вышеизложенной теории для перпендикулярно намагниченной пленки осуществляется заменой в  $A(z)$   $4\pi M_z^2/M_0^2 \rightarrow (4\pi - \beta) M_z^2/M_0^2$ . Для касательно намагниченной пленки при  $k_x, k_y \rightarrow 0$  учёт одноосной анизотропии приводит к замене  $4\pi M \rightarrow (4\pi - \beta) M$  в членах, не содержащих  $\alpha$ .

Рассмотрим кусочно-линейный профиль (рис. 1). Определим на  $[l_2, l_1]$  величины  $\mu = [(4\pi - \beta) M]'$ ,  $\gamma = \gamma'$ . При  $\alpha d^2 M_0 / \partial z^2$ ,  $M_0/M_0 \ll 1$ ,  $|a - c| \ll \ll |d - c|$ ,  $2dM'/M \ll 1$  в подынтегральном выражении (9) можно опустить члены с производными по  $z$  и  $\{4[(z - \operatorname{Re} c)^2 + (\operatorname{Im} c)^2]\}^{-1}$ ,  $G(z)$  заменить константой с  $M(N) = 1/2(M_i + M(c))$ ,  $\gamma(N) = 1/2(\gamma_i + \gamma(c))$ . Учитывая (10), получаем частоты СВР

$$\omega_n = \bar{\Omega} - 2p + [p^3 + s + \sqrt{s(2p^3 + s)}]^{1/2} + [p^3 + s - \sqrt{s(2p^3 + s)}]^{1/2}, \quad (11)$$

где

$$\Omega_{\perp}(z) = \gamma(z) [H - (4\pi - \beta(z)) M(z)], \quad (12)$$

$$\bar{\Omega} = \Omega_{\perp}(l_1),$$

$$p = \frac{d_1}{3} [\mu \gamma(z) - z \Omega_{\perp}(z) \gamma^{-1}(z)] \Big|_{z=\frac{l_1+l_2}{2}},$$

$$s = 9\pi^2 a \gamma(z) M(z) (n + 1/2)^2 p^2 d_1^{-2} \Big|_{z=\frac{l_1+l_2}{2}}$$

— для перпендикулярно намагниченной плёнки при  $\omega_n \in [\Omega_{\perp}(-d), \Omega_{\perp}(d)]$ ;

$$\Omega_{\parallel}(z) = \gamma(z) \sqrt{H[H + (4\pi - \beta(z)) M(z)]} \quad (13)$$

$$\Omega = \Omega_{\parallel}(l_2),$$

$$p = \frac{d_2}{6\gamma(z)\Omega_{\parallel}(z)} [\mu H \gamma^3(z) + 2z \Omega_{\parallel}^2(z)] \Big|_{z=\frac{l_1+l_2}{2}},$$

$$s = 36\pi^2 a \gamma(z) M(z) (n + 1/2)^2 p^2 d_2^{-2} \Big|_{z=\frac{l_1+l_2}{2}}$$

— для касательно намагниченной плёнки при  $\omega_n \in [\Omega_{\parallel}(-d), \Omega_{\parallel}(d)]$ .

Если  $\omega \in [\Omega_{\perp}(-d), \Omega_{\perp}(d)]$  в случае перпендикулярно намагниченной плёнки или  $\omega \in [\Omega_{\parallel}(-d), \Omega_{\parallel}(d)]$  в случае касательно намагниченной плёнки, то из анализа (10) следует, что особенность или близкое к особенности выражение уравнения (4) в точке  $Re c$  с существует ( $Im c = 0$  для перпендикулярно намагниченной и  $Im c \ll 2d$  для касательно намагниченной плёнки) и существуют также точки поворота  $a$ , в окрестности которых  $\varphi(z)$  имеет максимум (рис. 1). Наличие этого максимума и ус-

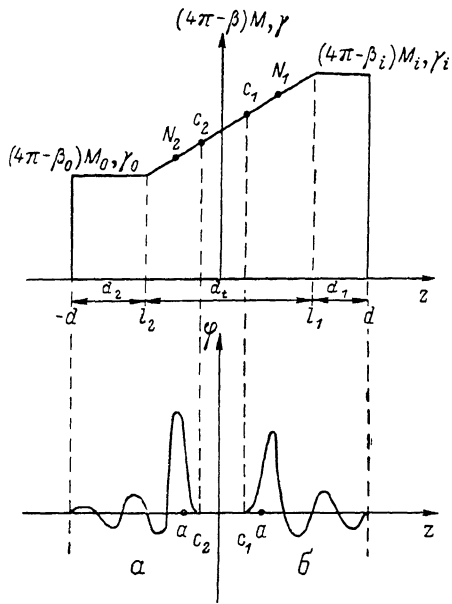


Рис. 1. Профили эффективной намагниченности и гиромагнитного отношения, используемые для расчета частот СВР, и соответствующий этому профилю магнитостатический потенциал: а — в касательно намагниченной плёнке, б — в перпендикулярно намагниченной плёнке.

а — точки поворота;  $c_1, c_2$  — точки, в которых (4) имеет особенность для перпендикулярно и касательно намагниченных плёнок.

ловий, что область  $[c, a]$  характеризуется наличием дефектов от имплантации и свободный член в уравнении (4)  $\frac{\varphi_{\text{внеш}}(z)}{D(z)} \rightarrow \infty$  при  $D(z) \rightarrow 0$ , должно приводить к поглощению энергии СВР в основном через область  $[c, a]$ .

Если  $\omega$  не принадлежит определенным выше интервалам, особенности в  $Re c$  и точек поворота  $a$  не существует и следует ожидать меньшего поглощения энергии СВР.

В [8] развита теория СВР, основывающаяся на нахождении собственных значений уравнения Ландау—Лифшица (1 или 3). Но, поскольку в эксперименте регистрируется  $\text{grad } \varphi(t)$ , а не  $\mathbf{m}(t)$ , следует находить собственные значения уравнения (2) (или (4), соотношение (9)). В этом заключается главное отличие изложенной выше модели от модели в [8].

## 2. Эксперимент

Исследования проводились на плёнке ИЖГ толщиной 5.9 мкм, выращенной на подложке из гадолиний-галлиевого граната. 7 образцов этой плёнки размерами  $4 \times 8$  мм были облучены ионами  $\text{He}^+$  с разными энергиями  $E$  и дозами  $D$  (см. таблицу). Образец № 5 был облучен дважды ионами  $\text{He}^+$  с энергиями 175 и 75 кэВ.

Дозы и энергии имплантации и количество наблюдаемых пиков СВР

N <sub>о</sub>	E, кэВ	D (· 10 <sup>15</sup> см <sup>-2</sup> )	N <sub>  </sub>	N <sub>⊥</sub>
1	175	3	22	2
2	175	3	22	2
3	100	3	32	1
4	50	3	18	6
5	175 + 75	3 + 3	32	4
6	175	1	22	1
7	175	6	39	6

Спектры СВР снимались для касательно и перпендикулярно намагниченных образцов на частоте  $\omega/2\pi=9.140$  ГГц при изменении величины постоянного магнитного поля. Пересчет полевых изменений в частотные осуществлялся по формуле

$$\Delta\omega = \frac{\partial\Omega_{\perp, \parallel}(z)}{\partial H} \Big|_{z=\frac{l_1+l_2}{2}} \Delta H. \quad (14)$$

Имплантация приводит к появлению конечного числа дополнительных пиков поглощения (рис. 2). Их количество приведено в таблице. На ос-

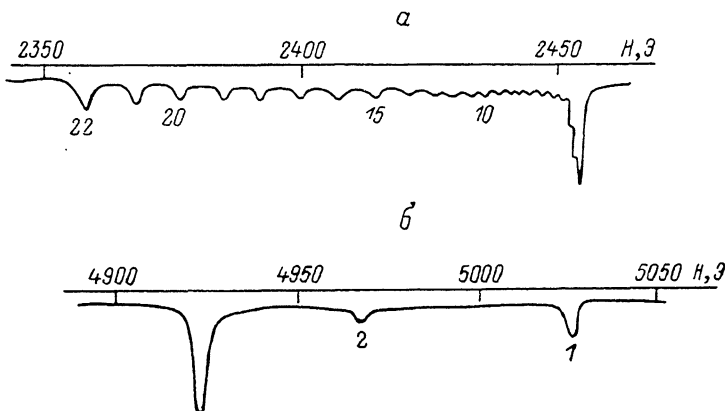


Рис. 2. Спектр СВР при  $\omega/2\pi=9.140$  ГГц: а — касательно намагниченной пленки № 2, б — перпендикулярно намагниченной пленки № 2.

1, 2, ..., 22 — номера дополнительных пиков поглощения.

нове изложенной выше модели эти пики были отождествлены с пиками СВР с особенностью уравнения (4) в точке  $R_e$  с и с точкой поворота  $a$ .

Из (12), (13) по положениям крайних пиков поглощения, имеющих, как правило, самую большую амплитуду из всех дополнительных пиков, были определены значения  $\gamma_i/2\pi$  и  $(4\pi-\beta_i)M_i$ , имплантированного слоя (рис. 3). При  $E=100$  кэВ наблюдаются максимальные значения  $\gamma_i/2\pi$  и  $(4\pi-\beta_i)M_i$ . Из [1-3] известно, что рост эффективной намагниченности  $(4\pi-\beta_i)M_i$  при малых  $E$  и  $D$  связан с увеличением величины анизотропии типа «легкая плоскость»  $H_A=\beta_i(M_i)n$  ( $\beta_i < 0$ ).  $H_A$  имеет в основном магнитострикционную природу и увеличивается при увеличении постоянной решетки  $a_0$  согласно [1],

$$H_A = \frac{3\lambda_{111}Y}{M_i(1+\mu_0)} \frac{\Delta a_0}{a_0}, \quad (15)$$

где  $Y=2.0 \cdot 10^{12}$  дин/см<sup>2</sup> — модуль Юнга,  $\mu_0=0.29$  — коэффициент Пуассона,  $\lambda_{111}=-2.7 \cdot 10^{-6}$  — коэффициент магнитострикции (даные приведены для ИЖГ).

При  $E > 100$  кэВ происходит уменьшение величины  $(4\pi - \beta_i) M_i$ , из-за уменьшения  $M_i$ , и, возможно,  $|H_A|$ . Уменьшение  $|H_A|$ , по-види-

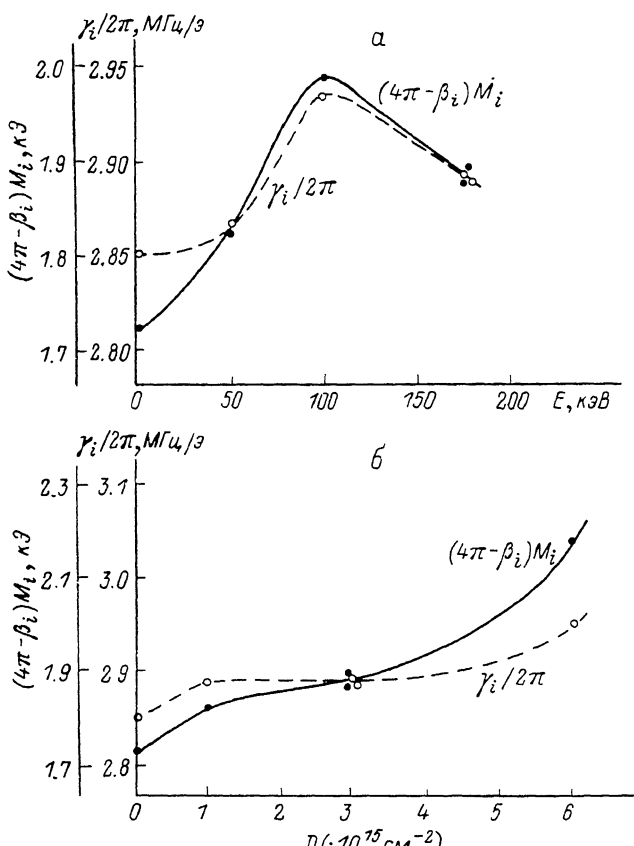


Рис. 3. Зависимости гиromагнитного отношения  $\gamma_i/2\pi$  и эффективной намагниченности  $(4\pi - \beta_i) M_i$  имплантированного слоя: а — от энергии имплантации при  $D = 3 \cdot 10^{15} \text{ см}^{-2}$ ; б — от дозы имплантации при  $E = 175$  кэВ.

мому, связано с уменьшением абсолютной величины константы  $\beta_i$  и переходом деформации из упругой в пластическую.

На рис. 4 показана зависимость положений пиков СВР от квадрата номера пика. Отличие этой зависимости от линейной привело к выводу

о наличии переходного слоя  $[l_2, l_1]$  с плавным изменением  $(4\pi - \beta(z)) M(z)$ . По формуле (11) с учетом (14) по положениям пиков СВР в касательном поле были определены толщины  $d_t$  переходного слоя (рис. 5). Расчеты проводились на ЕС-1035. При этом полагалось  $\alpha = 4\pi \cdot 3.2 \cdot 10^{-12} \text{ см}^2$ .

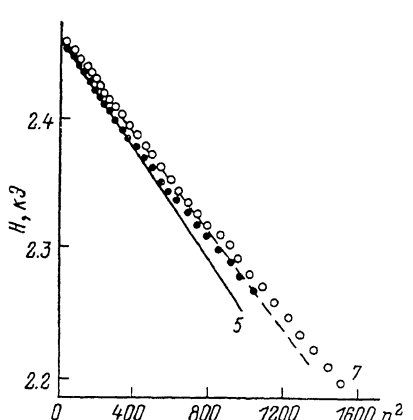


Рис. 4. Зависимость положений пиков СВР касательно намагниченных пленок № 5 и № 7 от квадрата номера пика.  
Пунктирная и сплошная линии — линейные зависимости.

Исследовалось влияние имплантации на групповые скорости обратных объемных МСВ (рис. 6). При  $E = 100$  кэВ групповая скорость имеет мини-

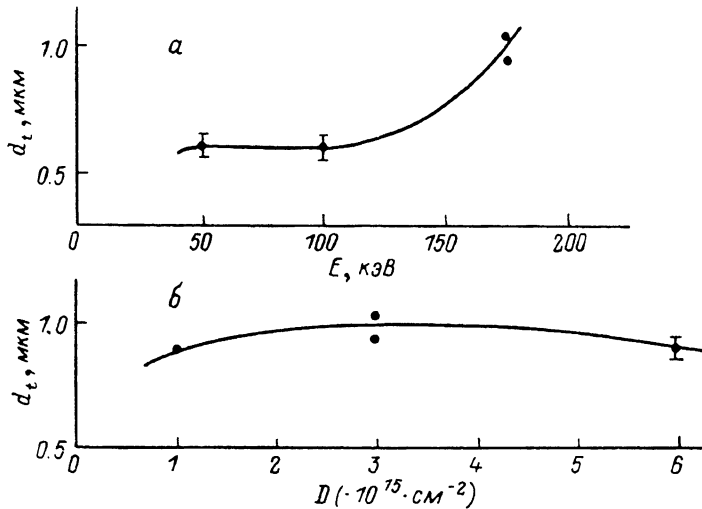


Рис. 5. Зависимости толщины переходного слоя: *a* — от энергии имплантации при  $D=3 \cdot 10^{15} \text{ см}^{-2}$ ; *б* — от дозы имплантации при  $E=175$  кэВ.

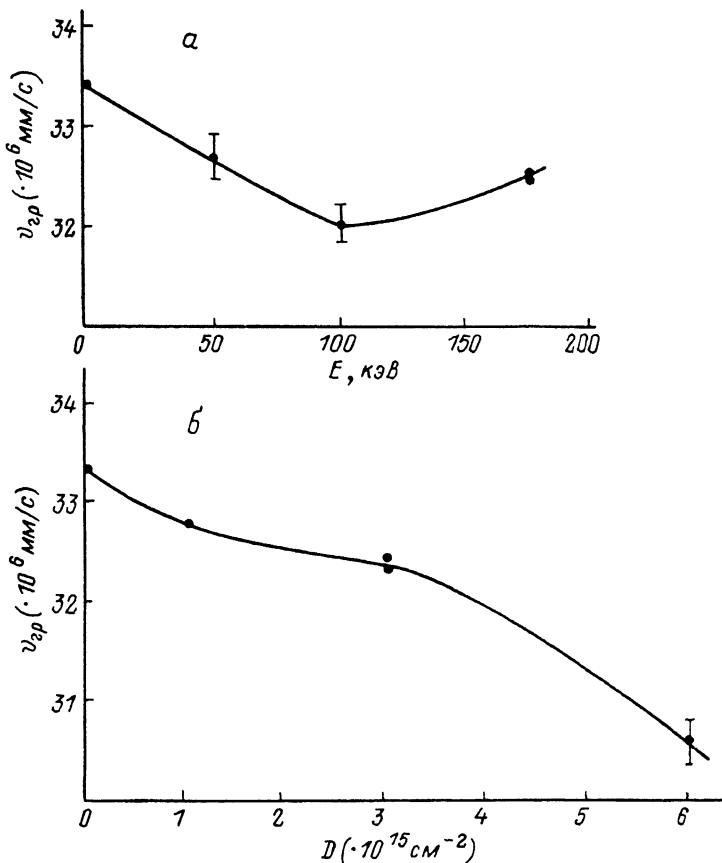


Рис. 6. Зависимости групповой скорости ООМСВ ( $\omega/2\pi=9.140$  ГГц): *a* — от энергии имплантации при  $D=3 \cdot 10^{15} \text{ см}^{-2}$ ; *б* — от дозы имплантации при  $E=175$  кэВ.

мум. Влияние имплантации на дисперсионные кривые и затухание ООМСЕ незначительно. Это связано с тем, что толщина неимплантированного слоя ( $\sim 5$  мкм) значительно больше толщины имплантированного слоя (0.6—1 мкм).

В заключение следует отметить, что изложенная выше модель имплантированной пленки может быть уточнена по нескольким направлениям: переход от кусочно-линейного профиля (рис. 1) к более сложному, учет высших членов разложения по  $\alpha$  в (5) и (8), более точное вычисление интеграла в (9).

Авторы благодарят Д.-Т. А. Урбонаса и Т. А. Крылову за проведение имплантации пленок.

#### Л и т е р а т у р а

- [1] Takeuchi T., Ohta N., Sugita Y. IEEE Transactions on Magnetics, 1984, vol. MAG-20, N 5, Pt. 1, p. 1108—1110.
- [2] Satoh Y., Ohashi M., Miyashita T., Komenou K. J. Appl. Phys., 1982, vol. 53, N 5, p. 3740—3744.
- [3] Vella-Coleiro G. P., Wolfe R., Blank S. L., Caruso R., Nelson T. J., Rana V. V. S. J. Appl. Phys., 1981, vol. 52, N 3, Pt. II, p. 2355—2357.
- [4] Mac Neal B. E., Speriosu V. S. J. Appl. Phys., 1981, vol. 52, N 6, p. 3935—3940.
- [5] Hartmann P., Fontaine D. IEEE Transactions on Magnetics, 1982, vol. MAG-18, N 6, p. 1595—1597.
- [6] Ахиезер А. И., Барыахтар В. Г., Пелетминский С. В. Спиновые волны. М.: Наука, 1967. 368 с.
- [7] Никифоров А. Ф., Уваров В. Б. Специальные функции математической физики. М.: Наука, 1984. 344 с.
- [8] Wilts C. H., Prasad S. IEEE Transactions on Magnetics, 1981, vol. MAG-17, N 5, p. 2405—2414.

Поступило в Редакцию  
9 октября 1987 г.  
В окончательной редакции  
18 января 1988 г.

---